

Stratégies modernes pour l'intégration des équations d'advection-réaction-diffusion

(ImEx & MultiRésolution Adaptative)

Alexandre EDELINE

ENSTA Paris

Laboratoire : CMAP

Tuteurs laboratoire : Marc MASSOT, Christian TENAUD

Tuteur ENSTA : Patrick CIARLET

Avril - Octobre 2025



Plan

Les équations d'advection-diffusion-réaction (ADR)

Problématique

1^{ère} contribution

2^{ème} contribution

3^{ème} contribution

Compléments

Plan

Les équations d'advection-diffusion-réaction (ADR)

Problématique

1^{ère} contribution

2^{ème} contribution

3^{ème} contribution

Compléments

Equations d'ADR

Applications Physiques



Equations d'ADR

Applications Physiques



$$\begin{cases} \partial_t u(x, t) = \underbrace{Au}_{\text{Advection } c\partial_x u} + \underbrace{Du}_{\text{Diffusion } \partial_x(\eta\partial_x u)} + \underbrace{R(u)}_{\substack{\text{Réaction} \\ \text{Non-lin.}}}, \\ u(x, 0) = u_0. \end{cases} \quad (1)$$

Le couplage des opérateurs

Les trois opérateurs ont des propriétés très différentes :

- ▶ Advection : Peu raide, raisonnant (spectre autour de $i\mathbb{R}$).
- ▶ Diffusion : Moyennement raide, spectre autour de \mathbb{R}^- .
- ▶ Réaction : Très raide, hautement non-linéaire, local.

⇒ les approches monolithiques peinent

Le couplage des opérateurs

Les trois opérateurs ont des propriétés très différentes :

- ▶ Advection : Peu raide, raisonnant (spectre autour de $i\mathbb{R}$).
- ▶ Diffusion : Moyennement raide, spectre autour de \mathbb{R}^- .
- ▶ Réaction : Très raide, hautement non-linéaire, local.

⇒ les approches monolithiques peinent

Les solutions multi-échelles

- ▶ plusieurs échelles de temps
- ▶ plusieurs échelles d'espace

Stratégie n°1 : Différencier le traitement sur chaque opérateurs

Ne pas faire un schéma monolithique.

- ▶ Séparation d'opérateurs (*splitting*)
- ▶ Méthodes ImEx (Additive Runge et Kutta)

Stratégie n°1 : Différencier le traitement sur chaque opérateurs

Ne pas faire un schéma monolithique.

- ▶ Séparation d'opérateurs (*splitting*)
- ▶ Méthodes ImEx (Additive Runge et Kutta)

Stratégie n°2 : Adaptation en espace

La multirésolution adaptative :

- ▶ Des grilles de *résolution multiples*,
- ▶ Deux opérateurs de *projection/reconstruction*,
- ▶ Représentation de la solution comme une suite de *détails*,
- ▶ Une stratégie d'*adaptation*.

Niveau de résolution $j = 1$

Niveau de résolution $j = 2$

Niveau de résolution $j = 3$

u_0^1				u_1^1			
d_0^2		d_1^2		d_2^2		d_3^2	
d_0^3	d_1^3	d_2^3	d_3^3	d_4^3	d_5^3	d_6^3	d_7^3

x

Plan

Les équations d'advection-diffusion-réaction (ADR)

Problématique

1^{ère} contribution

2^{ème} contribution

3^{ème} contribution

Compléments

Contribution n°1 - Comparaison ImEx-splitting :

- ▶ Équation de réaction-diffusion (*Nagumo spatiale 1D*).
- ▶ Étude de stabilité.
- ▶ Convergence avec et sans adaptation spatiale.

Contribution n°1 - Comparaison ImEx-splitting :

- ▶ Équation de réaction-diffusion (*Nagumo spatiale 1D*).
- ▶ Étude de stabilité.
- ▶ Convergence avec et sans adaptation spatiale.

Contribution n°2 - Calcul des équations équivalentes de schémas adaptés :

- ▶ Diffusion pure, linéaire, 1D.
- ▶ Méthode des lignes : *volume finis + Runge Kutta explicite*.
- ▶ Différents schémas de *multirésolution*.

Contribution n°1 - Comparaison ImEx-splitting :

- ▶ Équation de réaction-diffusion (*Nagumo spatiale 1D*).
- ▶ Étude de stabilité.
- ▶ Convergence avec et sans adaptation spatiale.

Contribution n°2 - Calcul des équations équivalentes de schémas adaptés :

- ▶ Diffusion pure, linéaire, 1D.
- ▶ Méthode des lignes : *volume finis + Runge Kutta explicite*.
- ▶ Différents schémas de *multirésolution*.

Contribution n°3 - Expérience numérique :

- ▶ Comparaison de la convergence selon le schéma de *multirésolution*.
- ▶ Extensions : méthodes stabilisées et étude de stabilité.
- ▶ Mise en relation avec les équations équivalentes.

Présentation des contributions

Contribution n°1 - Comparaison ImEx-splitting :

- ▶ Équation de réaction-diffusion (*Nagumo spatiale 1D*).
 - ▶ Étude de stabilité.
 - ▶ Convergence avec et sans adaptation spatiale.
-

Contribution n°2 - Calcul des équations équivalentes de schémas adaptés :

- ▶ Diffusion pure, linéaire, 1D.
 - ▶ Méthode des lignes : *volume finis + Runge Kutta explicite*.
 - ▶ Différents schémas de *multirésolution*.
-

Contribution n°3 - Expérience numérique :

- ▶ Comparaison de la convergence selon le schéma de *multirésolution*.
 - ▶ Extensions : méthodes stabilisées et étude de stabilité.
 - ▶ Mise en relation avec les équations équivalentes.
-

Complément :

- ▶ Mise à l'épreuve d'une conjecture issue de la *contribution n°3*.

Plan

Les équations d'advection-diffusion-réaction (ADR)

Problématique

1^{ère} contribution

2^{ème} contribution

3^{ème} contribution

Compléments

Objectifs Principaux :

- ▶ Comprendre les méthodes *ImEx* : méthodes, intérêt, mise en oeuvre, stabilité.
- ▶ Comparaison empirique de l'impact de la *multirésolution adaptative* sur ces méthodes et sur le *splitting*.

L'équation de Nagumo 1D :

Il s'agit d'une équation de diffusion-réaction faisant apparaître des dynamiques de fronts :

$$\partial_t u = \underbrace{D \partial_{xx} u}_{\text{diffusion}} - \underbrace{ku(1 - u^2)}_{\text{réaction non. lin.}} \quad k, D \in \mathbb{R}_+^*. \quad (2)$$

L'équation de Nagumo 1D :

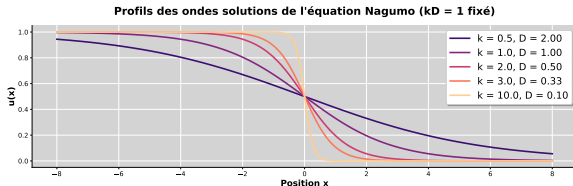
Il s'agit d'une équation de diffusion-réaction faisant apparaître des dynamiques de fronts :

$$\partial_t u = \underbrace{D \partial_{xx} u}_{\text{diffusion}} - \underbrace{ku(1-u^2)}_{\text{réaction non. lin.}} \quad k, D \in \mathbb{R}_+^*. \quad (2)$$

Les solutions :

En domaine infini, cette équation admet des solutions sous forme d'ondes progressives :

$$u(x - ct) = \frac{e^{\sqrt{\frac{k}{2D}}((x-x_0)-ct)}}{1 + e^{\sqrt{\frac{k}{2D}}((x-x_0)-ct)}}, \quad c = \sqrt{\frac{kD}{2}}. \quad (3)$$



Méthode ImEx232 :

Schéma à trois étages explicites et deux étages implicites, avec $\gamma = \frac{2-\sqrt{2}}{2}$ et $\delta = -\frac{2\sqrt{2}}{3}$:

$$\begin{array}{l} \text{Explicite :} \end{array} \begin{array}{c|ccc} 0 & 0 & 0 & 0 \\ \gamma & \gamma & 0 & 0 \\ 1 & \delta & 1-\delta & 0 \\ \hline & 0 & 1-\gamma & \gamma \end{array} \quad \begin{array}{l} \text{Implicite :} \end{array} \begin{array}{c|cc} \gamma & \gamma & 0 \\ 1 & 1-\gamma & \gamma \\ \hline & 1-\gamma & \gamma \end{array}$$

Méthode ImEx232 :

Schéma à trois étages explicites et deux étages implicites, avec $\gamma = \frac{2-\sqrt{2}}{2}$ et $\delta = -\frac{2\sqrt{2}}{3}$:

$$\begin{array}{l} \text{Explicite :} \end{array} \begin{array}{c|ccc} 0 & 0 & 0 & 0 \\ \gamma & \gamma & 0 & 0 \\ 1 & \delta & 1-\delta & 0 \\ \hline & 0 & 1-\gamma & \gamma \end{array} \quad \begin{array}{l} \text{Implicite :} \end{array} \begin{array}{c|ccc} \gamma & & & \\ 1 & \gamma & 0 & \\ \hline & 1-\gamma & \gamma & \\ & 1-\gamma & \gamma & \end{array}$$

Méthode ImEx222 :

Schéma à deux étages explicites et deux étages implicites, avec $\gamma = \frac{2-\sqrt{2}}{2}$ et $\delta = 1 - \frac{1}{2\gamma}$:

$$\begin{array}{l} \text{Explicite :} \end{array} \begin{array}{c|ccc} 0 & 0 & 0 & 0 \\ \gamma & \gamma & 0 & 0 \\ 1 & 1-\delta & \delta & 0 \\ \hline & 1-\delta & \delta & 0 \end{array} \quad \begin{array}{l} \text{Implicite :} \end{array} \begin{array}{c|ccc} \gamma & & & \\ 1 & \gamma & 0 & \\ \hline & 1-\gamma & \gamma & \\ & 1-\gamma & \gamma & \end{array}$$

Méthode ImEx232 :

Schéma à trois étages explicites et deux étages implicites, avec $\gamma = \frac{2-\sqrt{2}}{2}$ et $\delta = -\frac{2\sqrt{2}}{3}$:

$$\begin{array}{l} \text{Explicite :} \end{array} \begin{array}{c|ccc} 0 & 0 & 0 & 0 \\ \gamma & \gamma & 0 & 0 \\ 1 & \delta & 1-\delta & 0 \\ \hline & 0 & 1-\gamma & \gamma \end{array} \quad \begin{array}{l} \text{Implicite :} \end{array} \begin{array}{c|ccc} \gamma & & & \\ 1 & \gamma & 0 & \\ \hline & 1-\gamma & \gamma & \\ & 1-\gamma & \gamma & \end{array}$$

Méthode ImEx222 :

Schéma à deux étages explicites et deux étages implicites, avec $\gamma = \frac{2-\sqrt{2}}{2}$ et $\delta = 1 - \frac{1}{2\gamma}$:

$$\begin{array}{l} \text{Explicite :} \end{array} \begin{array}{c|ccc} 0 & 0 & 0 & 0 \\ \gamma & \gamma & 0 & 0 \\ 1 & 1-\delta & \delta & 0 \\ \hline & 1-\delta & \delta & 0 \end{array} \quad \begin{array}{l} \text{Implicite :} \end{array} \begin{array}{c|ccc} \gamma & & & \\ 1 & \gamma & 0 & \\ \hline & 1-\gamma & \gamma & \\ & 1-\gamma & \gamma & \end{array}$$

Méthode Splitting :

Splitting de Strang | Réaction : ERK2 (Heun) | Diffusion : SDIRK2 (celle des méthode ImEx).

Méthode ImEx232 :

Schéma à trois étages explicites et deux étages implicites, avec $\gamma = \frac{2-\sqrt{2}}{2}$ et $\delta = -\frac{2\sqrt{2}}{3}$:

$$\text{Explicite : } \begin{array}{c|ccc} 0 & 0 & 0 & 0 \\ \gamma & \gamma & 0 & 0 \\ 1 & \delta & 1-\delta & 0 \\ \hline & 0 & 1-\gamma & \gamma \end{array} \quad \text{Implicite : } \begin{array}{c|ccc} \gamma & & & \\ 1 & \gamma & 0 & \\ \hline & 1-\gamma & \gamma & \end{array} \quad \text{équation cible générique : } \partial_t u = f_E(u) + f_I(u) \mid \text{objectif : } u^n \rightarrow u^{n+1}. \quad (4)$$

Méthode ImEx232 :

Schéma à trois étages explicites et deux étages implicites, avec $\gamma = \frac{2-\sqrt{2}}{2}$ et $\delta = -\frac{2\sqrt{2}}{3}$:

$$\text{Explicite : } \begin{array}{c|ccc} 0 & 0 & 0 & 0 \\ \gamma & \gamma & 0 & 0 \\ 1 & \delta & 1-\delta & 0 \\ \hline & 0 & 1-\gamma & \gamma \end{array} \quad \text{Implicite : } \begin{array}{c|cc} \gamma & \gamma & 0 \\ 1 & 1-\gamma & \gamma \\ \hline & 1-\gamma & \gamma \end{array} \quad \text{équation cible générique : } \partial_t u = f_E(u) + f_I(u) \mid \text{objectif : } u^n \rightarrow u^{n+1}. \quad (4)$$

Calcul :

Méthode ImEx232 :

Schéma à trois étages explicites et deux étages implicites, avec $\gamma = \frac{2-\sqrt{2}}{2}$ et $\delta = -\frac{2\sqrt{2}}{3}$:

$$\text{Explicite : } \begin{array}{c|ccc} & 0 & 0 & 0 \\ \gamma & \gamma & 0 & 0 \\ 1 & \delta & 1-\delta & 0 \\ \hline & 0 & 1-\gamma & \gamma \end{array} \quad \text{Implicite : } \begin{array}{c|ccc} \gamma & & & \\ 1 & \gamma & 0 & \\ \hline & 1-\gamma & \gamma & \end{array} \quad \text{équation cible générique : } \partial_t u = f_E(u) + f_I(u) \mid \text{objectif : } u^n \rightarrow u^{n+1}. \quad (4)$$

Calcul :

Initialisation

$$u_0 = u^n,$$

1^{er} étage

$$k_1^E = f_E(u_0), k_1^I = f_I(u_1).$$

Méthode ImEx232 :

Schéma à trois étages explicites et deux étages implicites, avec $\gamma = \frac{2-\sqrt{2}}{2}$ et $\delta = -\frac{2\sqrt{2}}{3}$:

$$\text{Explicite : } \begin{array}{c|ccc} 0 & 0 & 0 & 0 \\ \gamma & \gamma & 0 & 0 \\ 1 & \delta & 1-\delta & 0 \\ \hline & 0 & 1-\gamma & \gamma \end{array} \quad \text{Implicite : } \begin{array}{c|ccc} \gamma & & & \\ 1 & \gamma & 0 & \\ \hline & 1-\gamma & \gamma & \end{array} \quad \text{équation cible générique : } \partial_t u = f_E(u) + f_I(u) \mid \text{objectif : } u^n \rightarrow u^{n+1}. \quad (4)$$

Calcul :

Initialisation

$$u_0 = u^n,$$

1^{er} étage

$$k_1^E = f_E(u_0), k_1^I = f_I(u_1).$$

$$u_1 = u_0 + \gamma \Delta t k_1^E + \gamma \Delta t \underbrace{f_I(u_1)}_{=k_1^I},$$

Méthode ImEx232 :

Schéma à trois étapes explicites et deux étapes implicites, avec $\gamma = \frac{2-\sqrt{2}}{2}$ et $\delta = -\frac{2\sqrt{2}}{3}$:

$$\text{Explicite : } \begin{array}{c|ccc} 0 & 0 & 0 & 0 \\ \gamma & \gamma & 0 & 0 \\ 1 & \delta & 1-\delta & 0 \\ \hline & 0 & 1-\gamma & \gamma \end{array} \quad \text{Implicite : } \begin{array}{c|cc} \gamma & \gamma & 0 \\ 1 & 1-\gamma & \gamma \\ \hline & 1-\gamma & \gamma \end{array} \quad \text{équation cible générique : } \partial_t u = f_E(u) + f_I(u) \mid \text{objectif : } u^n \rightarrow u^{n+1}. \quad (4)$$

Calcul :

Initialisation

$$u_0 = u^n,$$

1^{er} étage

$$k_1^E = f_E(u_0), k_1^I = f_I(u_1).$$

$$u_1 = u_0 + \gamma \Delta t k_1^E + \gamma \Delta t \overbrace{f_I(u_1)}^{=k_1^I},$$

$$\Rightarrow u_1 = \left[Id - \gamma \Delta t f_I(\cdot) \right]^{-1} (u_0 + \gamma \Delta t k_1^E),$$

Méthode ImEx232 :

Schéma à trois étapes explicites et deux étapes implicites, avec $\gamma = \frac{2-\sqrt{2}}{2}$ et $\delta = -\frac{2\sqrt{2}}{3}$:

$$\text{Explicite : } \begin{array}{c|ccc} 0 & 0 & 0 & 0 \\ \gamma & \gamma & 0 & 0 \\ \hline 1 & \delta & 1-\delta & 0 \\ & 0 & 1-\gamma & \gamma \end{array} \quad \text{Implicite : } \begin{array}{c|ccc} \gamma & \gamma & 0 & \\ \hline 1 & 1-\gamma & \gamma & \\ & 1-\gamma & \gamma & \end{array} \quad \text{équation cible générique : } \partial_t u = f_E(u) + f_I(u) \mid \text{objectif : } u^n \rightarrow u^{n+1}. \quad (4)$$

Calcul :

Initialisation

$$u_0 = u^n,$$

1^{er} étage

$$k_1^E = f_E(u_0), k_1^I = f_I(u_1).$$

$$u_1 = u_0 + \gamma \Delta t k_1^E + \gamma \Delta t \overbrace{f_I(u_1)}^{=k_1^I},$$

$$\Rightarrow u_1 = \left[Id - \gamma \Delta t f_I(\cdot) \right]^{-1} (u_0 + \gamma \Delta t k_1^E),$$

$$\Rightarrow k_1^I = f_I(u_1).$$

Méthode ImEx232 :

Schéma à trois étapes explicites et deux étapes implicites, avec $\gamma = \frac{2-\sqrt{2}}{2}$ et $\delta = -\frac{2\sqrt{2}}{3}$:

$$\text{Explicite : } \begin{array}{c|ccc} 0 & 0 & 0 & 0 \\ \gamma & \gamma & 0 & 0 \\ 1 & \delta & 1-\delta & 0 \\ \hline & 0 & 1-\gamma & \gamma \end{array} \quad \text{Implicite : } \begin{array}{c|ccc} \gamma & \gamma & 0 & \\ 1 & 1-\gamma & \gamma & \\ \hline & 1-\gamma & \gamma & \end{array} \quad \text{équation cible générique : } \partial_t u = f_E(u) + f_I(u) \mid \text{objectif : } u^n \rightarrow u^{n+1}. \quad (4)$$

Calcul :

Initialisation

$$u_0 = u^n,$$

2^{eme} étage

$$k_2^E = f_E(u_1), k_2^I = f_I(u_2).$$

1^{er} étage

$$k_1^E = f_E(u_0), k_1^I = f_I(u_1).$$

$$u_1 = u_0 + \gamma \Delta t k_1^E + \gamma \Delta t \overbrace{f_I(u_1)}^{=k_1^I},$$

$$\Rightarrow u_1 = \left[Id - \gamma \Delta t f_I(\cdot) \right]^{-1} (u_0 + \gamma \Delta t k_1^E),$$

$$\Rightarrow k_1^I = f_I(u_1).$$

Méthode ImEx232 :

Schéma à trois étapes explicites et deux étapes implicites, avec $\gamma = \frac{2-\sqrt{2}}{2}$ et $\delta = -\frac{2\sqrt{2}}{3}$:

$$\begin{array}{c|ccc} \text{Explicite :} & 0 & 0 & 0 \\ & \gamma & 0 & 0 \\ \hline & 1 & \delta & 1-\delta \\ & & 0 & \gamma \end{array} \quad \begin{array}{c|ccc} \text{Implicite :} & \gamma & 0 & 0 \\ & 1 & \gamma & \gamma \\ \hline & 1 & 1-\gamma & 1-\gamma \end{array} \quad \text{équation cible générique : } \partial_t u = f_E(u) + f_I(u) \mid \text{objectif : } u^n \rightarrow u^{n+1}. \quad (4)$$

Calcul :

Initialisation

$$u_0 = u^n,$$

1^{er} étage

$$k_1^E = f_E(u_0), k_1^I = f_I(u_1).$$

$$u_1 = u_0 + \gamma \Delta t k_1^E + \gamma \Delta t \overbrace{f_I(u_1)}^{=k_1^I},$$

$$\Rightarrow u_1 = \left[Id - \gamma \Delta t f_I(\cdot) \right]^{-1} (u_0 + \gamma \Delta t k_1^E),$$

$$\Rightarrow k_1^I = f_I(u_1).$$

2^{eme} étage

$$k_2^E = f_E(u_1), k_2^I = f_I(u_2).$$

$$u_2 = u_0 + \delta \Delta t k_1^E + (1-\delta) \Delta t k_2^E + (1-\gamma) \Delta t k_1^I + \overbrace{\gamma \Delta t f_I(u_2)}^{=k_2^I},$$

$$\Rightarrow u_1 = \left[Id - \gamma \Delta t f_I(\cdot) \right]^{-1} \left(u_0 + \delta \Delta t k_1^E + (1-\delta) \Delta t k_2^E + (1-\gamma) \Delta t k_1^I \right),$$

$$\Rightarrow k_2^I = f_I(u_2).$$

Méthode ImEx232 :

Schéma à trois étapes explicites et deux étapes implicites, avec $\gamma = \frac{2-\sqrt{2}}{2}$ et $\delta = -\frac{2\sqrt{2}}{3}$:

$$\begin{array}{c|ccc} \text{Explicite :} & 0 & 0 & 0 \\ & \gamma & 0 & 0 \\ \hline & 1 & \delta & 1-\delta \\ & & 0 & \gamma \end{array} \quad \begin{array}{c|ccc} \text{Implicite :} & \gamma & 0 & 0 \\ & 1 & \gamma & \gamma \\ \hline & & 1-\gamma & \gamma \end{array} \quad \text{équation cible générique : } \partial_t u = f_E(u) + f_I(u) \mid \text{objectif : } u^n \rightarrow u^{n+1}. \quad (4)$$

Calcul :

Initialisation

$$u_0 = u^n,$$

1^{er} étage

$$k_1^E = f_E(u_0), k_1^I = f_I(u_1).$$

$$u_1 = u_0 + \gamma \Delta t k_1^E + \gamma \Delta t \overbrace{f_I(u_1)}^{=k_1^I},$$

$$\Rightarrow u_1 = \left[Id - \gamma \Delta t f_I(\cdot) \right]^{-1} (u_0 + \gamma \Delta t k_1^E),$$

$$\Rightarrow k_1^I = f_I(u_1).$$

2^{eme} étage

$$k_2^E = f_E(u_1), k_2^I = f_I(u_2).$$

$$u_2 = u_0 + \delta \Delta t k_1^E + (1 - \delta) \Delta t k_2^E + (1 - \gamma) \Delta t k_1^I + \overbrace{\gamma \Delta t f_I(u_2)}^{=k_2^I},$$

$$\Rightarrow u_1 = \left[Id - \gamma \Delta t f_I(\cdot) \right]^{-1} \left(u_0 + \delta \Delta t k_1^E + (1 - \delta) \Delta t k_2^E + (1 - \gamma) \Delta t k_1^I \right),$$

$$\Rightarrow k_2^I = f_I(u_2).$$

3^{eme} étage

$$k_3^E = f_E(u_2).$$

Méthode ImEx232 :

Schéma à trois étapes explicites et deux étapes implicites, avec $\gamma = \frac{2-\sqrt{2}}{2}$ et $\delta = -\frac{2\sqrt{2}}{3}$:

$$\text{Explicite : } \begin{array}{c|ccc} & 0 & 0 & 0 \\ \gamma & \gamma & 0 & 0 \\ 1 & \delta & 1-\delta & 0 \\ \hline & 0 & 1-\gamma & \gamma \end{array} \quad \text{Implicite : } \begin{array}{c|ccc} & \gamma & & 0 \\ 1 & 1-\gamma & & \gamma \\ \hline & 1-\gamma & & \gamma \end{array} \quad \text{équation cible générique : } \partial_t u = f_E(u) + f_I(u) \mid \text{objectif : } u^n \rightarrow u^{n+1}. \quad (4)$$

Calcul :

Initialisation

$$u_0 = u^n,$$

1^{er} étage

$$k_1^E = f_E(u_0), k_1^I = f_I(u_1).$$

$$u_1 = u_0 + \gamma \Delta t k_1^E + \gamma \Delta t \overbrace{f_I(u_1)}^{=k_1^I},$$

$$\Rightarrow u_1 = \left[Id - \gamma \Delta t f_I(\cdot) \right]^{-1} (u_0 + \gamma \Delta t k_1^E),$$

$$\Rightarrow k_1^I = f_I(u_1).$$

2^{eme} étage

$$k_2^E = f_E(u_1), k_2^I = f_I(u_2).$$

$$u_2 = u_0 + \delta \Delta t k_1^E + (1-\delta) \Delta t k_2^E + (1-\gamma) \Delta t k_1^I + \overbrace{\gamma \Delta t f_I(u_2)}^{=k_2^I},$$

$$\Rightarrow u_1 = \left[Id - \gamma \Delta t f_I(\cdot) \right]^{-1} \left(u_0 + \delta \Delta t k_1^E + (1-\delta) \Delta t k_2^E + (1-\gamma) \Delta t k_1^I \right),$$

$$\Rightarrow k_2^I = f_I(u_2).$$

3^{eme} étage

$$k_3^E = f_E(u_2).$$

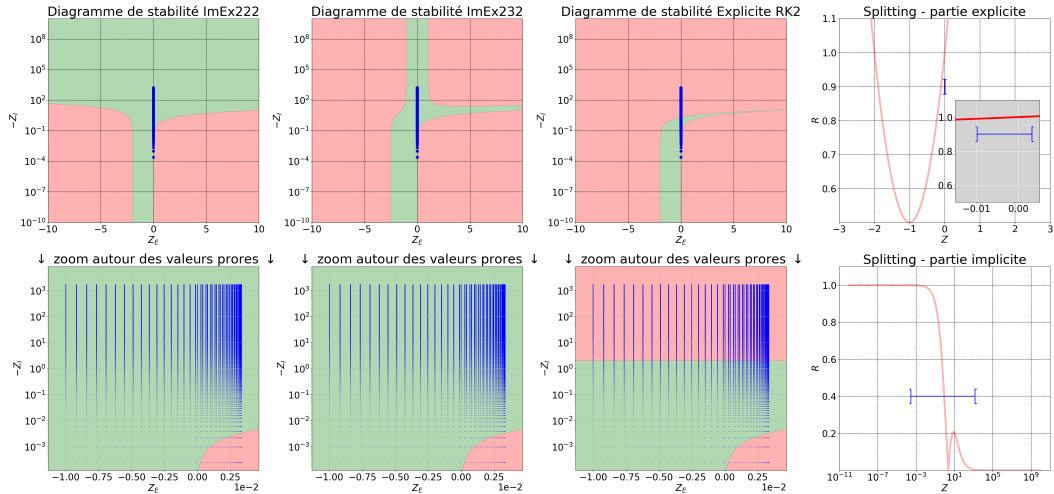
Recombinaison des etages

$$u^{n+1} = u^n + \Delta t \left((1-\gamma) k_2^E + \gamma k_3^E + (1-\gamma) k_1^I + \gamma k_2^I \right).$$

Contribution 1 | Comparaison ImEx - Splitting

Analyse de stabilité

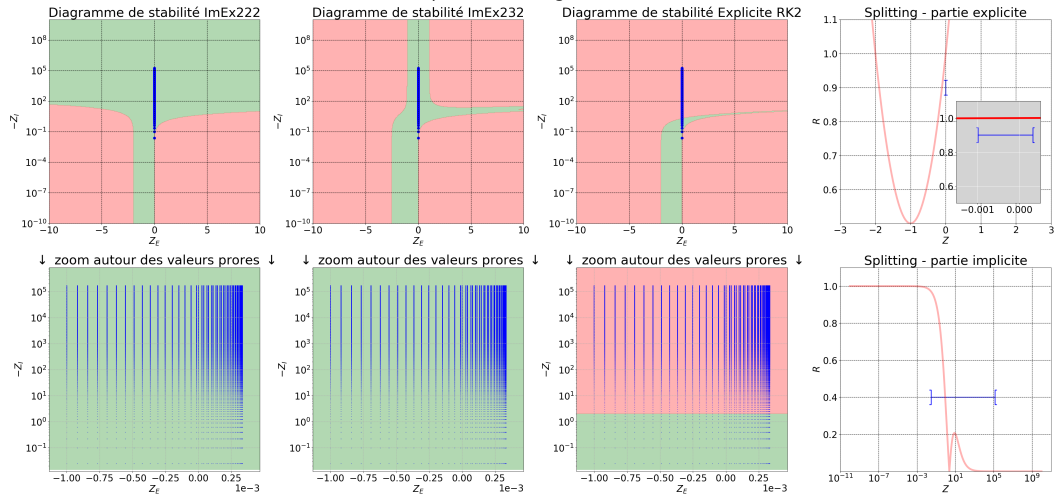
Stabilité de différentes méthodes sur l'équation de Nagumo. $D = 1$, $k = 1$, $\Delta t = 1.0\text{e-}02$, $\Delta x = 4.9\text{e-}03$.



Contribution 1 | Comparaison ImEx - Splitting

Analyse de stabilité

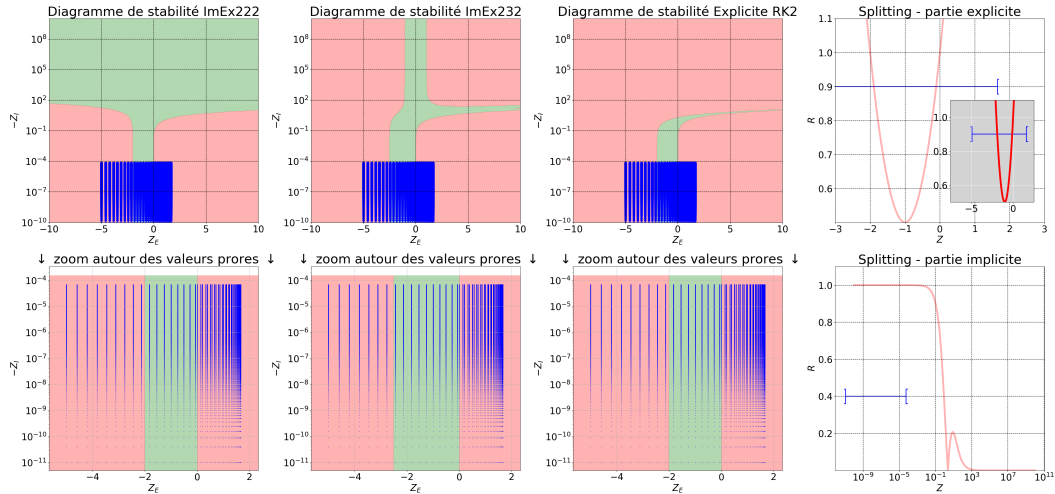
Stabilité de différentes méthodes sur l'équation de Nagumo. $D = 10$, $k = 0.1$, $\Delta t = 1.0\text{e-}02$, $\Delta x = 4.9\text{e-}03$.



Contribution 1 | Comparaison ImEx - Splitting

Analyse de stabilité

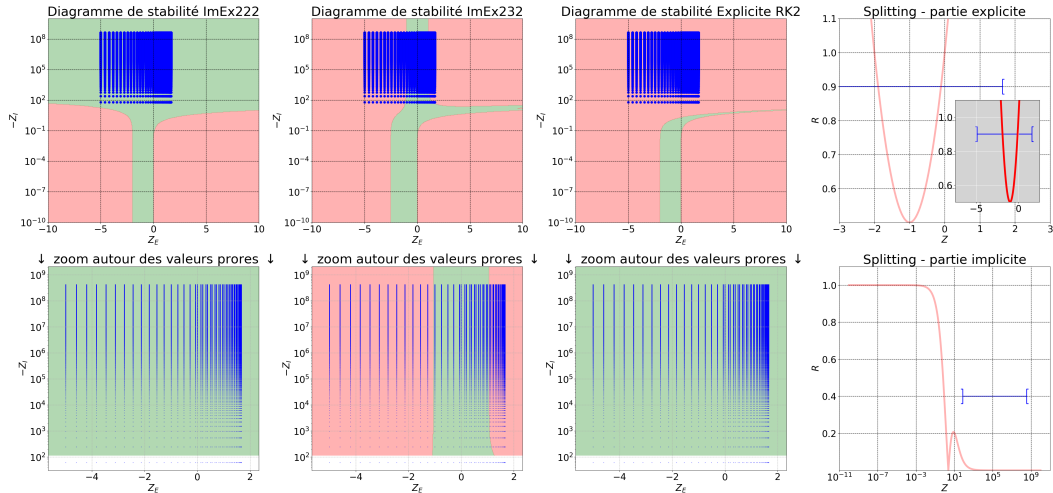
Stabilité de différentes méthodes sur l'équation de Nagumo. $D = 0.0002$, $k = 500$, $\Delta t = 1.0e-02$, $\Delta x = 4.9e-03$.



Contribution 1 | Comparaison ImEx - Splitting

Analyse de stabilité

Stabilité de différentes méthodes sur l'équation de Nagumo. $D = 500$, $k = 500$, $\Delta t = 1.0\text{e-}02$, $\Delta x = 4.9\text{e-}03$.



Contribution 1 | Comparaison ImEx - Splitting

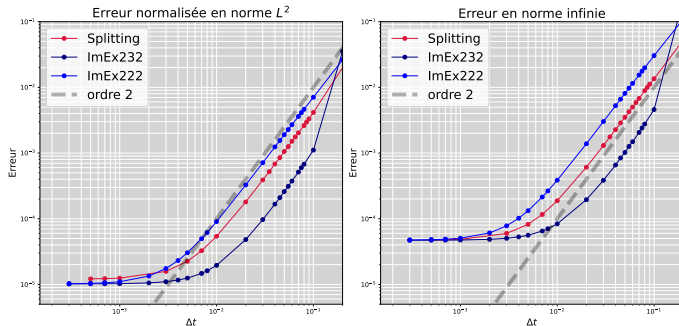
Convergence (\emptyset MRA)

Contexte :

- ▶ $k = 10, D = 0.1,$
- ▶ $\Delta x = 2.4 \cdot 10^{-3},$
- ▶ conditions de Neumann au bord (quasi infini).



Convergence des méthodes ImEx vs Splitting
 $k = 10, D = 0.1$



Contribution 1 | Comparaison ImEx - Splitting

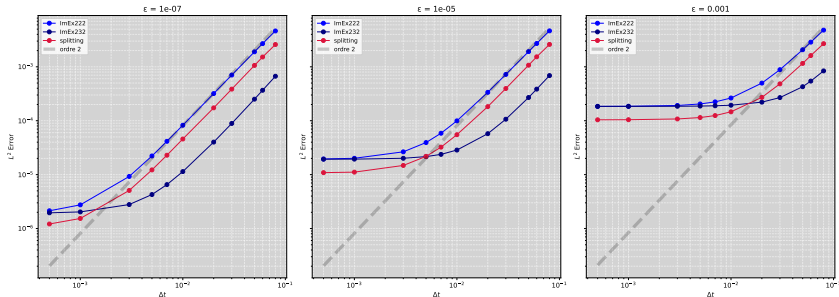
Convergence (avec MRA)

Contexte :

- ▶ $k = 10$, $D = 0.1$,
- ▶ Solution représentée du 12 ($\Delta x = 9 \cdot 10^{-3}$) à 6,
- ▶ conditions de Neumann au bord (quasi infini).



Convergence d'un schéma MRA combiné à différentes méthodes de découplage (ImEx/splitting).



Apprentissage personnel :

- ▶ Étude de la théorie des ImEx [3, 1, 4] et des schémas pour lois de conservation [5].
- ▶ Familiarisation avec l'étude de stabilité linéaire pour les ImEx $((z_E, z_I) \in \mathbb{C}^2)$.
- ▶ Code par volume fini en C++ grâce à la librairie Samurai.

Résultat empirique

Le schéma de *splitting* est plus robuste à la *multirésolution adaptative* que les ImEx.
Cela n'est pas forcément généralisable, c'est un cas particulier.

Plan

Les équations d'advection-diffusion-réaction (ADR)

Problématique

1^{ère} contribution

2^{ème} contribution

3^{ème} contribution

Compléments

$$\text{Équation cible : } \partial_t u = \partial_x (D \partial_x u), \quad D > 0. \quad (5)$$

Schéma numérique

Méthode des lignes : Volumes finis ordre deux + Runge Kutta explicite d'ordre deux.

○ **Semi-discrétisation spatiale** : Sur un maillage 1D constitué de cellules C_j de tailles Δx :

$$\forall j, \quad \int_{C_j} u(x, t) dx = \partial_x \int_{C_j} \partial_x u(x, t) dx. \quad (6)$$

$$\forall j, \quad U_j(t) = \frac{D}{\Delta x} [\partial_x u(x, t)]_{x_{j-1/2}}^{x_{j+1/2}} \quad (7)$$

$$\forall j, \quad U_j(t) = \underbrace{\frac{D}{\Delta x} \left[\frac{U_{j+1}(t) - U_j(t)}{\Delta x} - \frac{U_j(t) - U_{j-1}(t)}{\Delta x} \right]}_{\text{noté : } \mathcal{D}} + \mathcal{O}(\Delta x^2) \quad (8)$$

○ **Intégration en temps** : Pour un pas de temps Δt :

$$u^{n+1} = u^n + \Delta t \mathcal{D} u^n + \frac{\Delta t^2}{2} \mathcal{D}^2 u^n \rightarrow \text{stabilité : } \lambda = \frac{D \Delta t}{\Delta x^2} < \frac{1}{2}. \quad (9)$$

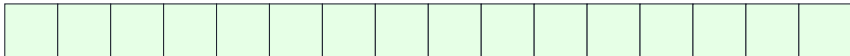
Contribution 2 | Équations Équivalentes, diffusion et MRA

Les deux approches de MRA

Flux numériques :

$$\Phi_k^+ = \frac{u_{k+1} - u_k}{\Delta x}$$

$$\Phi_k^- = \frac{u_k - u_{k-1}}{\Delta x}$$



Contribution 2 | Équations Équivalentes, diffusion et MRA

Les deux approches de MRA

Flux numériques :

$$\Phi_k^+ = \frac{u_{k+1} - u_k}{\Delta x}$$

$$\Phi_k^- = \frac{u_k - u_{k-1}}{\Delta x}$$



Pas d'adaptation →

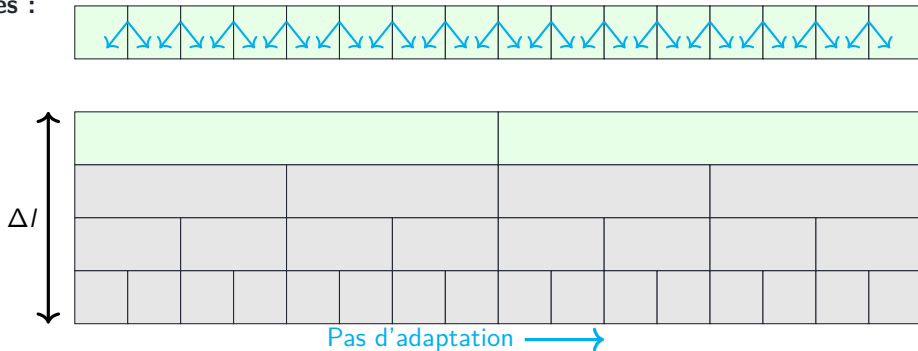
Contribution 2 | Équations Équivalentes, diffusion et MRA

Les deux approches de MRA

Flux numériques :

$$\Phi_k^+ = \frac{u_{k+1} - u_k}{\Delta x}$$

$$\Phi_k^- = \frac{u_k - u_{k-1}}{\Delta x}$$



Contribution 2 | Équations Équivalentes, diffusion et MRA

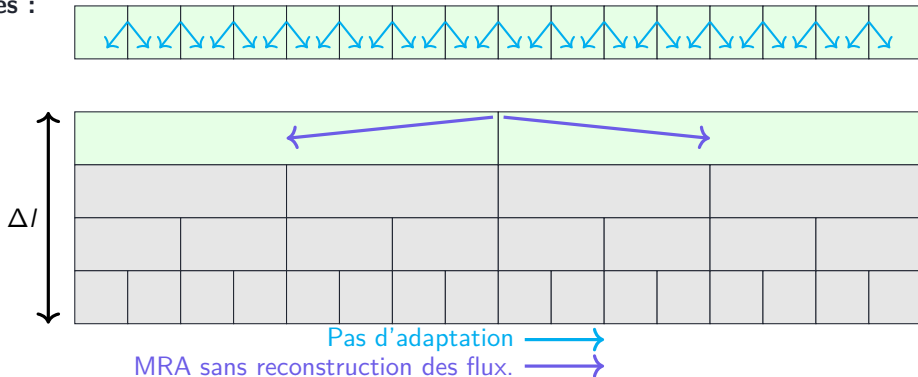
Les deux approches de MRA

Prédicteur polynomial à trois points.

Flux numériques :

$$\Phi_k^+ = \frac{u_{k+1} - u_k}{\Delta x}$$

$$\Phi_k^- = \frac{u_k - u_{k-1}}{\Delta x}$$



Contribution 2 | Équations Équivalentes, diffusion et MRA

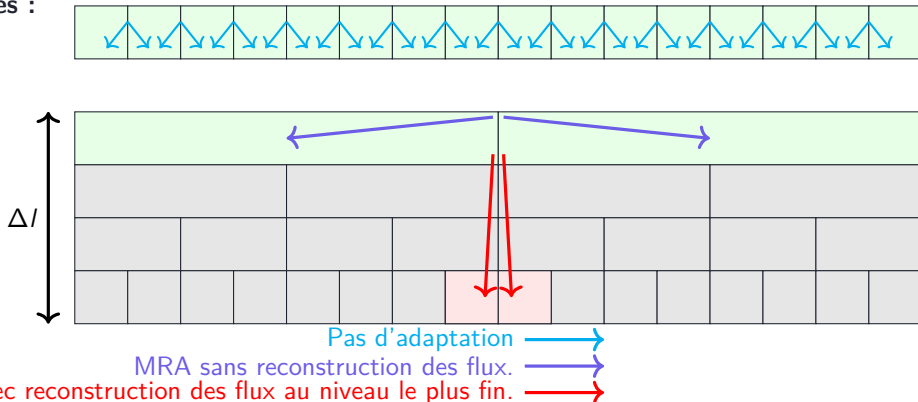
Les deux approches de MRA

Prédicteur polynomial à trois points.

Flux numériques :

$$\Phi_k^+ = \frac{u_{k+1} - u_k}{\Delta x}$$

$$\Phi_k^- = \frac{u_k - u_{k-1}}{\Delta x}$$



Contribution 2 | Équations Équivalentes, diffusion et MRA

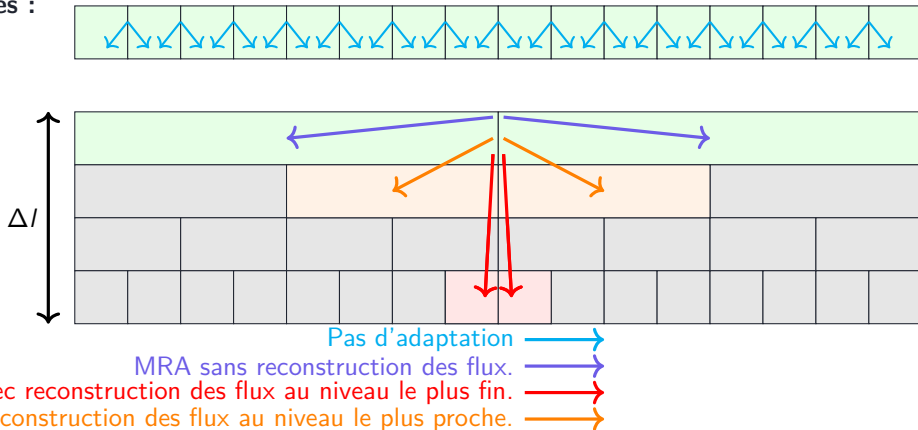
Les deux approches de MRA

Prédicteur polynomial à trois points.

Flux numériques :

$$\Phi_k^+ = \frac{u_{k+1} - u_k}{\Delta x}$$

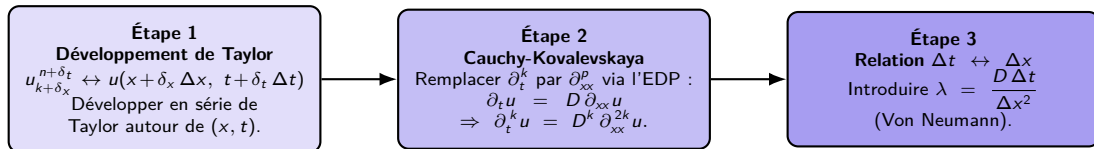
$$\Phi_k^- = \frac{u_k - u_{k-1}}{\Delta x}$$



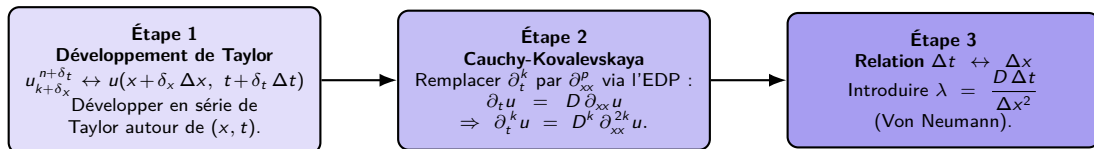
Contribution 2 | Équations Équivalentes, diffusion et MRA

Méthode d'obtention des équations équivalentes

Méthode d'obtention des équations équivalentes : Automatisation via



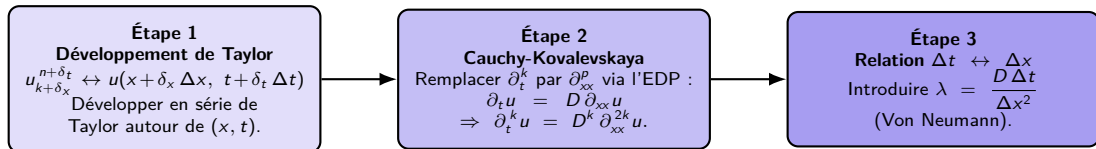
Méthode d'obtention des équations équivalentes : Automatisation via



Multirésolution adaptative sans reconstruction des flux :

Remplacer Δx par $2^{\Delta l} \Delta x$.

Méthode d'obtention des équations équivalentes : Automatisation via



Multirésolution adaptative sans reconstruction des flux :

Remplacer Δx par $2^{\Delta l} \Delta x$.

Prise en compte de la reconstruction des flux :

- ▶ Reconstruction : $\left[u_{2^{\Delta l} k-1}^{\bar{l}}, u_{2^{\Delta l} k}^{\bar{l}}, u_{2^{\Delta l} k+1}^{\bar{l}}, u_{2^{\Delta l} k+2}^{\bar{l}} \right]^T = P^{\Delta l} \left[u_{k-1}^{\bar{l}-\Delta l}, u_k^{\bar{l}-\Delta l}, u_{k+1}^{\bar{l}}, u_{k+2}^{\bar{l}-\Delta l} \right]^T$
- ▶ Taille cellule : $2^{\Delta l} \Delta x$, Pas approximation gradient Δx .

Δ / écart de niveau - $D > 0$ coefficient de diffusion - Δx pas spatial de la grille fine - Δt pas temporel

Sans multirésolution adaptative :

$$\frac{\partial u}{\partial t} = D \frac{\partial^2 u}{\partial x^2} + \Delta x^2 \frac{D}{12} \frac{\partial^4 u}{\partial x^4} - \Delta t^2 \frac{D^3}{6} \frac{\partial^6 u}{\partial x^6} - \Delta t^3 \frac{D^4}{24} \frac{\partial^8 u}{\partial x^8} + \mathcal{O}(\Delta x^4, \Delta t^4). \quad (10)$$

Δl écart de niveau - $D > 0$ coefficient de diffusion - Δx pas spatial de la grille fine - Δt pas temporel

Sans multirésolution adaptative :

$$\frac{\partial u}{\partial t} = D \frac{\partial^2 u}{\partial x^2} + \Delta x^2 \frac{D}{12} \frac{\partial^4 u}{\partial x^4} - \Delta t^2 \frac{D^3}{6} \frac{\partial^6 u}{\partial x^6} - \Delta t^3 \frac{D^4}{24} \frac{\partial^8 u}{\partial x^8} + \mathcal{O}(\Delta x^4, \Delta t^4). \quad (10)$$

Avec multirésolution adaptative - sans reconstruction des flux :

$$\frac{\partial}{\partial t} u = D \frac{\partial^2 u}{\partial x^2} + (2^{\Delta l} \Delta x)^2 \frac{D}{12} \frac{\partial^4 u}{\partial x^4} - \Delta t^2 \frac{D^3}{6} \frac{\partial^6 u}{\partial x^6} - \Delta t^3 \frac{D^4}{24} \frac{\partial^8 u}{\partial x^8} + \mathcal{O}(\Delta x^4, \Delta t^4). \quad (11)$$

Δl écart de niveau - $D > 0$ coefficient de diffusion - Δx pas spatial de la grille fine - Δt pas temporel

Sans multirésolution adaptative :

$$\frac{\partial u}{\partial t} = D \frac{\partial^2 u}{\partial x^2} + \Delta x^2 \frac{D}{12} \frac{\partial^4 u}{\partial x^4} - \Delta t^2 \frac{D^3}{6} \frac{\partial^6 u}{\partial x^6} - \Delta t^3 \frac{D^4}{24} \frac{\partial^8 u}{\partial x^8} + \mathcal{O}(\Delta x^4, \Delta t^4). \quad (10)$$

Avec multirésolution adaptative - sans reconstruction des flux :

$$\frac{\partial}{\partial t} u = D \frac{\partial^2 u}{\partial x^2} + (2^{\Delta l} \Delta x)^2 \frac{D}{12} \frac{\partial^4 u}{\partial x^4} - \Delta t^2 \frac{D^3}{6} \frac{\partial^6 u}{\partial x^6} - \Delta t^3 \frac{D^4}{24} \frac{\partial^8 u}{\partial x^8} + \mathcal{O}(\Delta x^4, \Delta t^4). \quad (11)$$

Avec multirésolution adaptative - avec reconstruction des flux :

$$\frac{\partial u}{\partial t} = D \frac{\partial^2 u}{\partial x^2} - \Delta t \frac{D^2}{2} \left(2^{2\Delta l} - 1 \right) \frac{\partial^4 u}{\partial x^4} - \Delta t^2 \frac{D^3}{6} \frac{\partial^6 u}{\partial x^6} - \Delta t^3 \frac{D^4}{24} \frac{\partial^8 u}{\partial x^8} + \Delta x^2 \frac{2^{2\Delta l} D}{12} (1 - 3\Delta l) \frac{\partial^4 u}{\partial x^4} + \mathcal{O}(\Delta x^4, \Delta t^4). \quad (12)$$

Δl écart de niveau - $D > 0$ coefficient de diffusion - Δx pas spatial de la grille fine - $\lambda = D \frac{\Delta t}{\Delta x^2}$ c^{ste} Von Neumann

Sans multirésolution adaptative :

$$\frac{\partial u}{\partial t} = D \frac{\partial^2 u}{\partial x^2} + \Delta x^2 \frac{D}{12} \frac{\partial^4 u}{\partial x^4} - \lambda^2 \Delta x^4 \frac{D}{6} \frac{\partial^6 u}{\partial x^6} - \lambda^3 \Delta x^6 \frac{D}{24} \frac{\partial^8 u}{\partial x^8} + \mathcal{O}(\Delta x^7). \quad (13)$$

Δl écart de niveau - $D > 0$ coefficient de diffusion - Δx pas spatial de la grille fine - $\lambda = D \frac{\Delta t}{\Delta x^2}$ c^{ste} Von Neumann

Sans multirésolution adaptative :

$$\frac{\partial u}{\partial t} = D \frac{\partial^2 u}{\partial x^2} + \Delta x^2 \frac{D}{12} \frac{\partial^4 u}{\partial x^4} - \lambda^2 \Delta x^4 \frac{D}{6} \frac{\partial^6 u}{\partial x^6} - \lambda^3 \Delta x^6 \frac{D}{24} \frac{\partial^8 u}{\partial x^8} + \mathcal{O}(\Delta x^7). \quad (13)$$

Avec multirésolution adaptative - sans reconstruction des flux :

$$\frac{\partial}{\partial t} u = D \frac{\partial^2 u}{\partial x^2} + (2^{\Delta l} \Delta x)^2 \frac{D}{12} \frac{\partial^4 u}{\partial x^4} - \lambda^2 \Delta x^4 \frac{D}{6} \frac{\partial^6 u}{\partial x^6} - \lambda^3 \Delta x^6 \frac{D}{24} \frac{\partial^8 u}{\partial x^8} + \mathcal{O}(\Delta x^7) \quad (14)$$

Δl écart de niveau - $D > 0$ coefficient de diffusion - Δx pas spatial de la grille fine - $\lambda = D \frac{\Delta t}{\Delta x^2}$ c^{ste} Von Neumann

Sans multirésolution adaptative :

$$\frac{\partial u}{\partial t} = D \frac{\partial^2 u}{\partial x^2} + \Delta x^2 \frac{D}{12} \frac{\partial^4 u}{\partial x^4} - \lambda^2 \Delta x^4 \frac{D}{6} \frac{\partial^6 u}{\partial x^6} - \lambda^3 \Delta x^6 \frac{D}{24} \frac{\partial^8 u}{\partial x^8} + \mathcal{O}(\Delta x^7). \quad (13)$$

Avec multirésolution adaptative - sans reconstruction des flux :

$$\frac{\partial}{\partial t} u = D \frac{\partial^2 u}{\partial x^2} + (2^{\Delta l} \Delta x)^2 \frac{D}{12} \frac{\partial^4 u}{\partial x^4} - \lambda^2 \Delta x^4 \frac{D}{6} \frac{\partial^6 u}{\partial x^6} - \lambda^3 \Delta x^6 \frac{D}{24} \frac{\partial^8 u}{\partial x^8} + \mathcal{O}(\Delta x^7) \quad (14)$$

Avec multirésolution adaptative - avec reconstruction des flux :

$$\frac{\partial u}{\partial t} = + D \frac{\partial^2 u}{\partial x^2} + \Delta x^2 D \left(\frac{\lambda}{2} (2^{2\Delta l} - 1) + \frac{2^{2\Delta l}}{12} (1 - 3\Delta l) \right) \frac{\partial^4 u}{\partial x^4} - \Delta x^4 \frac{D \lambda^2 \frac{\partial^6 u}{\partial x^6}}{6} - \Delta x^6 \frac{D \lambda^3 \frac{\partial^8 u}{\partial x^8}}{24} + \mathcal{O}(\Delta x^7). \quad (15)$$

Apprentissage personnel :

- ▶ Calcul formel grâce à la librairie Sympy.
- ▶ Développement de la compréhension de l'algorithme d'adaptation.
- ▶ Usage des *équations équivalentes* comme puissant outil d'analyse, dans la continuité de l'équipe hpc@maths [6, 2].

Résultats

- ▶ **Développement d'équations équivalente** pour un schéma diffusif avec plusieurs types d'adaptation permettant une mise en lumière de l'erreur pour chaque contexte.
(sans MRA, MRA sans reconstruction des flux et MRA avec reconstruction des flux)
- ▶ **La reconstruction semble ajouter plus de termes d'erreurs**
+ potentiellement perte d'ordre (à confirmer).

Plan

Les équations d'advection-diffusion-réaction (ADR)

Problématique

1^{ère} contribution

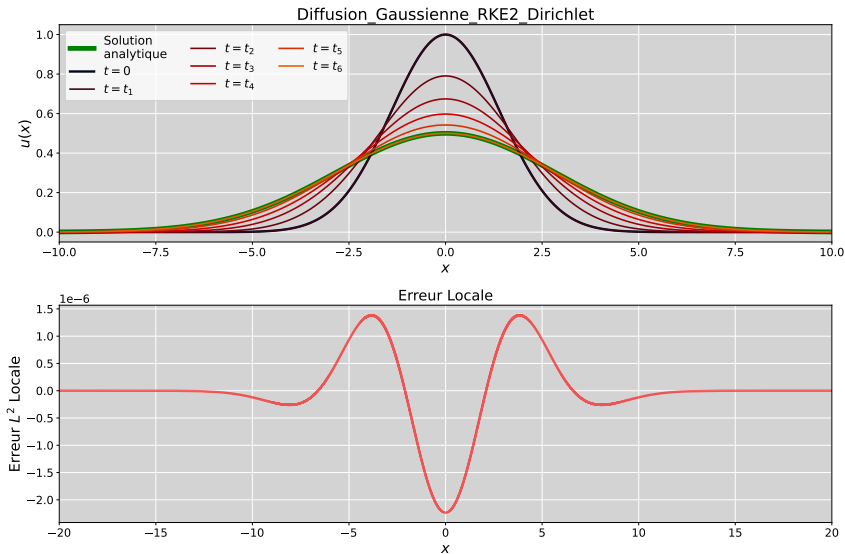
2^{ème} contribution

3^{ème} contribution

Compléments

Contribution 3 | Étude numérique, diffusion et MRA

Présentation générale



- ▶ Niveaux de 12 à 6 - $\varepsilon = 10^{-5}$.
- ▶ Comparaison à la solution analytique.

- ▶ Niveaux de 12 à 6 - $\varepsilon = 10^{-5}$.
- ▶ Comparaison à la solution analytique.

Erreur selon la méthode d'adaptation

Schéma n^o	Niveau d'évaluation des flux	Erreur L^2
I	Ø MRA	2×10^{-5}
II	Courant	1×10^{-4}
III	Plus fin l^{\max}	3×10^{-4}
IV	Inférieur direct $(l + 1)$	2×10^{-4}

- ▶ Niveaux de 12 à 6 - $\varepsilon = 10^{-5}$.
- ▶ Comparaison à la solution analytique.

Erreur selon la méthode d'adaptation

Schéma n^o	Niveau d'évaluation des flux	Erreur L^2
I	∅ MRA	2×10^{-5}
II	Courant	1×10^{-4}
III	Plus fin l^{\max}	3×10^{-4}
IV	Inférieur direct $(l + 1)$	2×10^{-4}

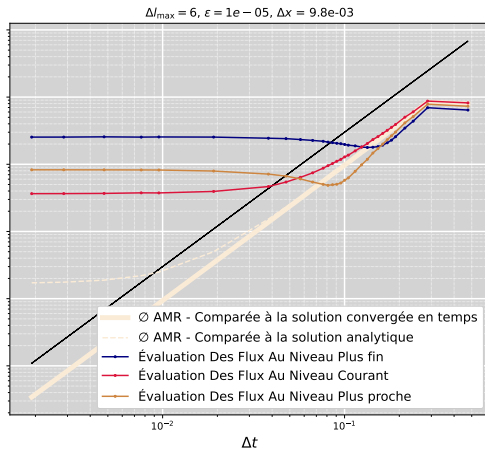
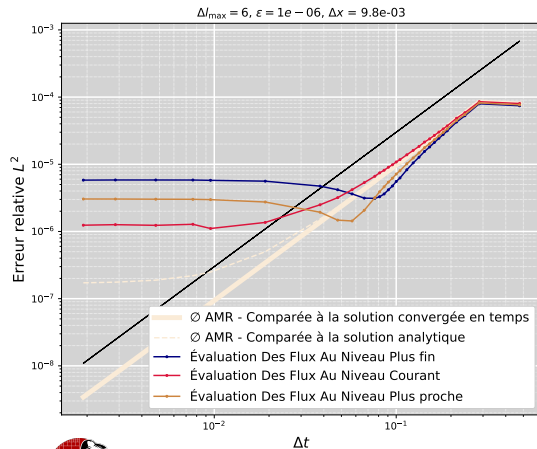
- ▶ On retrouve que reconstruire \rightarrow problèmes.
- ▶ Forte contrainte de stabilité $\lambda = \frac{\Delta t}{\Delta x^2} < \frac{1}{2}$.

Etude de stabilité

Contribution 3 | Étude numérique, diffusion et MRA

Intégration avec ROCK2

Erreur par rapport à une solution convergée en temps selon la méthode d'évaluation des flux



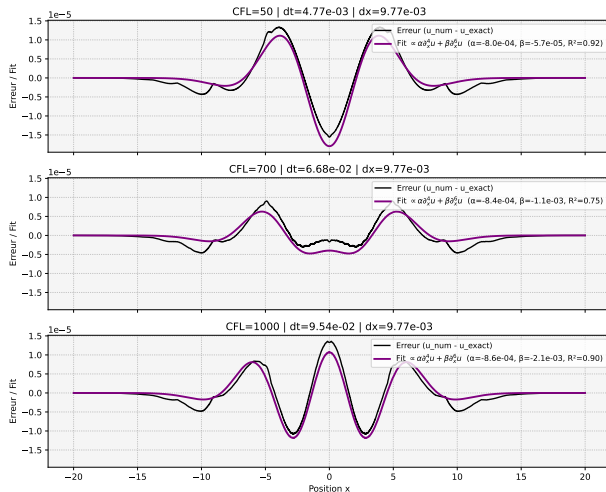
+ Ponio

Visualisation de la distribution des erreurs.

Contribution 3 | Étude numérique, diffusion et MRA

Profils d'erreur

Correspondance Erreur Num. $\propto \alpha \partial_x^4 u + \beta \partial_x^6 u$



Chute prématurée de l'erreur :

Les dérivées ∂_x^4 et ∂_x^6 ont des poids différents dans l'erreur selon la constante de Von Neumann λ . Leurs profils se "compensent" quand elles ont un poids comparable.

Moins bonnes performances quand l'erreur temporelle est faible

Plus de termes d'erreur dans la contribution dominante de l'erreur :

Schéma n°	Évaluation des flux	Constante pondérant l'erreur en $\Delta x^2 \partial_x^4 u$ (dominante quand λ est petite)
I	Ø AMR	$\frac{D}{12}$
II	Sans reconstruction	$2^{\Delta l} \frac{D}{12}$
III	Avec reconstruction	$D \left(\frac{\lambda}{2} (2^{2\Delta l} - 1) + \frac{2^{2\Delta l}}{12} (1 - 3\Delta l) \right)$

- ▶ La reconstruction semble ici problème car : prédicteur polynomial précis à l'ordre 3, permet une évaluation des gradients à l'ordre 2. Or le schéma est d'ordre 2, donc erreur de prédiction du même ordre et s'accumule.

Plan

Les équations d'advection-diffusion-réaction (ADR)

Problématique

1^{ère} contribution

2^{ème} contribution

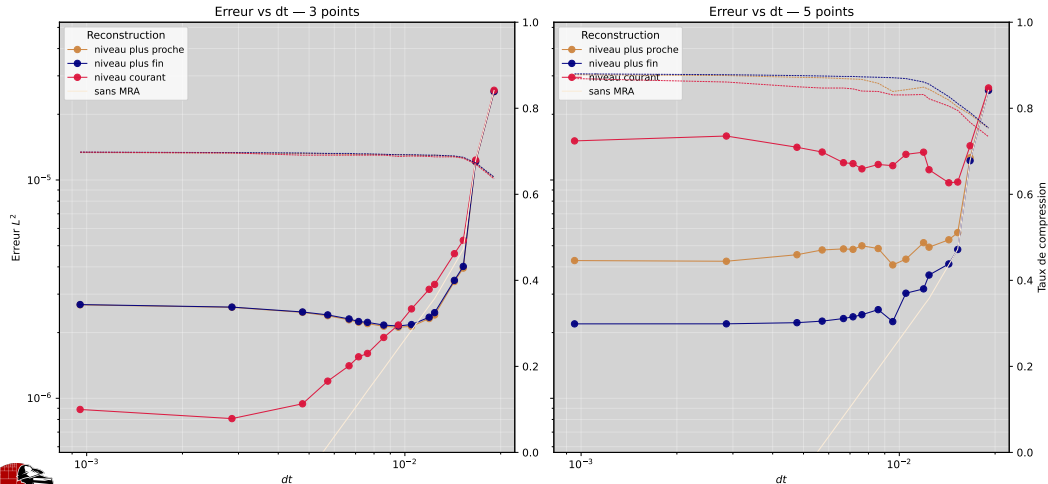
3^{ème} contribution

Compléments

Complément

Essais numériques - prédicteur à 5 points

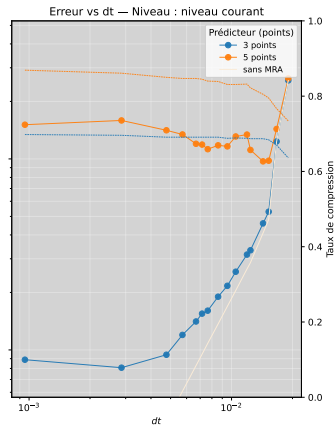
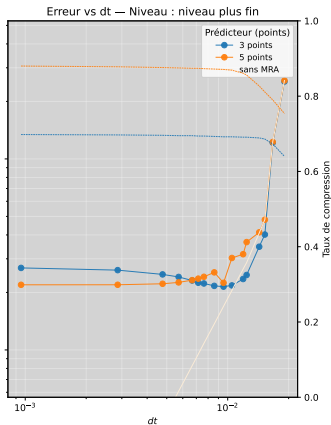
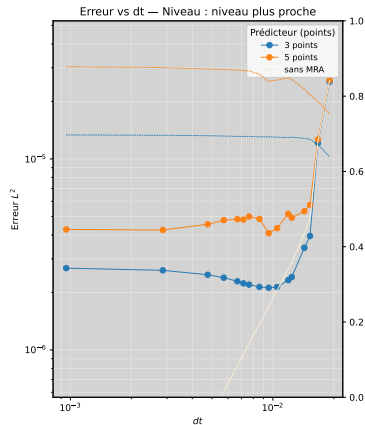
Convergence — Erreur L^2 en fonction de dt



Complément

Essais numériques - prédicteur à 5 points

Convergence — Erreur L^2 en fonction de dt (par niveau)



Conclusion

Références I



Uri M. Ascher, Steven J. Ruuth, and Raymond J. Spiteri.

Implicit-explicit runge-kutta methods for time-dependent partial differential equations.
Applied Numerical Mathematics, 25(2) :151–167, 1997.
Special Issue on Time Integration.



Belloti, Gouarin, J. Massot, M. Massot, Matalon, Séries, and Tenaud.

Modified equation and error analyses on adaptative meshes for the resolution of evolutionary pdes with finite volume schemes.
2025.
Preprint.



E. Hairer.

Order conditions for numerical methods for partitioned ordinary differential equations.
Numerische Mathematik, 36(4) :431–445, 1981.



Christopher A. Kennedy and Mark H. Carpenter.

Additive rungekutta schemes for convectiondiffusionreaction equations.
Applied Numerical Mathematics, 44(1) :139–181, 2003.



Randall J. LeVeque.

Numerical Methods for Conservation Laws.
Lectures in Mathematics ETH Zürich. Birkhäuser Verlag, Basel, 1990.



Marc Massot, Thomas Bellotti, Loïc Gouarin, Josselin Massot, Pierre Matalon, Laurent Séries, and Christian Tenaud.

Towards a new approach of mesh adaptation methods and its impact on accuracy for the simulation of stiff pdes.
Technical report / seminar presentation, NASA Ames Research Center, Advanced Modeling & Simulation Seminar Series, July 2025.
Version accessible en ligne.

Merci !

